

## ВЛИЯНИЕ ПРИМЕСЕЙ ВОДОРОДА И АЗОТА НА ЛЮМИНЕСЦЕНЦИЮ ЭПИТАКСИАЛЬНЫХ ПЛЕНОК ТЕЛЛУРИДА СВИНЦА

Качабеков М. М., Юнович А. Э.

Впервые исследовано влияние примесей H и N на люминесценцию и структуру PbTe. Пленки PbTe выращивались методом термического испарения в атмосфере H<sub>2</sub> или N<sub>2</sub> при давлениях 10<sup>-5</sup>–10<sup>-1</sup> мм рт. ст. Обнаружено увеличение квантового выхода излучения PbTe при легировании H<sub>2</sub> в области давлений около 10<sup>-2</sup> мм рт. ст., что связано с улучшением структурного совершенства монокристаллических эпитаксиальных пленок. Температурная зависимость интенсивности излучения поликристаллических пленок PbTe : H, выращенных на стеклянной подложке, имеет максимум в области  $T=120\div140$  К. Для пленок PbTe : N обнаружены смещение спектральной полосы люминесценции и края поглощения в сторону высоких энергий на 25–30 мэВ и появление коротковолновых максимумов в спектрах. Эти максимумы могут быть обусловлены рекомбинацией с участием квазилокальных уровней в зоне проводимости.

**Введение.** При выращивании эпитаксиальных слоев соединений типа A<sup>I</sup>V<sup>VI</sup> методом термического испарения в вакууме происходит неконтролируемое растворение в слоях примесей остаточных газов, таких как H<sub>2</sub>, O<sub>2</sub>, N<sub>2</sub>, Ar (см. [1–3] и ссылки там же). Известно влияние многих примесей на электрические свойства, структуру и люминесценцию PbTe (см., например, обзор [4], работы [5–11]). Однако в литературе отсутствуют данные о влиянии газовых примесей на люминесценцию халькогенидов свинца.

В настоящей работе исследована фотoluminesценция (ФЛ) пленок PbTe, выращенных в атмосфере H<sub>2</sub> или N<sub>2</sub>. Обнаруженные особенности люминесценции, обусловленные примесями H или N, сопоставляются с электрическими и структурными свойствами пленок.

**1. Исследованные образцы и методика эксперимента.** Пленки PbTe выращивались методом термического осаждения в вакууме на подложках из слюды, NaCl, стекла при различных остаточных давлениях H<sub>2</sub> и N<sub>2</sub> в интервале 10<sup>-5</sup>–10<sup>-1</sup> мм рт. ст. (см. методику в [1]); шихтой служил порошок PbTe стехиометрического состава. Данные об электрических свойствах характерных образцов приведены в таблице; свойства PbTe : H частично описаны в [2].

С увеличением давления H<sub>2</sub> концентрация дырок в образцах p-типа уменьшалась в пределах 1·10<sup>17</sup>–2·10<sup>16</sup> см<sup>-3</sup>, и при максимальных давлениях ≈10<sup>-1</sup> мм рт. ст. тип проводимости изменялся, концентрация электронов была ≈1·10<sup>17</sup> см<sup>-3</sup>. Подвижность носителей заряда при 80 К достигала максимальных значений  $\mu_p \approx 4 \cdot 10^4$  см<sup>2</sup>/В·с при наименьшей концентрации дырок.

Пленки, выращенные в атмосфере N<sub>2</sub>, были n-типа, концентрация электронов в них могла падать при 80 К до 2·10<sup>13</sup> см<sup>-3</sup>. Подвижность в образцах PbTe : N была мала, изменялась в пределах  $\mu_n = 50 \div 250$  см<sup>2</sup>/В·с. Известно, что такими свойствами обычно обладают легированные компенсированные образцы PbTe с заметными неоднородностями [4].

Таким образом, очевидно, что легирование газами изменяет электрические свойства исследованных образцов PbTe, и влияние примесей водорода и азота существенно различается.

Параметры пленок PbTe, выращенных на подложках из слюды  
при различных остаточных давлениях  $H_2$  и  $N_2$

Среда	№ об- разца	Давление $P$ , мм рт. ст	$n(p)$ , $\text{см}^{-3}$		$\mu$ , $\text{см}^2/\text{В} \cdot \text{с}$		Тип проводи- мости	$\hbar\omega_m$ ,* мэВ при 80 К
			80 К	300 К	80 К	300 К		
Вакуум	0	$8 \cdot 10^{-6}$	$1 \cdot 10^{17}$	$5 \cdot 10^{17}$	$5 \cdot 10^3$	450	p	232.8
$H_2$	1	$10^{-5}$	$1 \cdot 10^{17}$	$5 \cdot 10^{17}$	$6 \cdot 10^3$	470	p	233.2
	2	$10^{-4}$	$1 \cdot 10^{17}$	$5 \cdot 10^{17}$	$1 \cdot 10^4$	600	p	234.8
	3	$10^{-3}$	$5 \cdot 10^{16}$	$1 \cdot 10^{17}$	$2 \cdot 10^4$	667	p	235.9
	4	$10^{-2}$	$2 \cdot 10^{16}$	$2 \cdot 10^{17}$	$4 \cdot 10^4$	850	p	235.9
	5	$10^{-1}$	$6 \cdot 10^{15}$	$2 \cdot 10^{17}$	$3 \cdot 10^4$	523	n	234.1
	6	$10^{-5}$	$3.6 \cdot 10^{14}$	$3.9 \cdot 10^{17}$	119	210	n	236.8 (1) ** 257.6 (3)
$N_2$	7	$10^{-4}$	$7 \cdot 10^{17}$	$3.2 \cdot 10^{15}$	16.3	55.6	n	250.2 (1) 271.3 (3)
	8	$10^{-3}$	$3.4 \cdot 10^{17}$	$6.5 \cdot 10^{17}$	29	95	n	253.8 (1) 274.3 (3)
	9	$10^{-2}$	$2.4 \cdot 10^{13}$	$7.9 \cdot 10^{13}$	207	226	n	—
	10	$10^{-1}$	$3.3 \cdot 10^{15}$	$4 \cdot 10^{16}$	56	46	n	—

Примечание. \* Данные при возбуждении лазером ЛГИ-21,  $\hbar\omega = 3.68$  эВ,  $\tau = 10$  нс,  $W_0 = 5 \cdot 10^3$  Вт/см<sup>2</sup>.  
\*\* Значения энергий основного ( $\hbar\omega_0$ ) и коротковолнового ( $\hbar\omega_m$ ) максимумов (рис. 4).

Структурные исследования пленок с естественно выращенной зеркальной поверхностью были проведены методом дифракции электронов «на просвет». Наиболее совершенной структурой обладали монокристаллические пленки PbTe на подложках из слюды, выращенные при давлениях  $P_{H_2} = 10^{-2} \div 10^{-1}$  мм рт. ст. На электронограммах этих образцов появлялись полосы Кикучи. Пленки PbTe : H, выращенные на стеклянных подложках, были поликристаллическими.

Пленки PbTe : N и на подложках из слюды, и на подложках из NaCl не обнаруживали полос Кикучи, т. е. были менее совершенными. Поэтому можно было ожидать в соответствии с известной корреляцией между квантовым выходом излучения и структурным совершенством пленок соединений типа  $A^{IV}B^{VI}$  [10], что пленки PbTe : H будут иметь большую интенсивность излучения, чем пленки PbTe : N.

Для исследования ФЛ была разработана установка, отличавшаяся от описанной в [12] применением трех различных лазеров для возбуждения и использованием фотоприемника из InSb на выходе спектрометра ИКС-21. Для импульсного возбуждения использовался  $N_2$ -лазер типа ЛГИ-21 ( $\hbar\omega_0 = 3.68$  эВ,  $\tau = 10$  нс,  $f = 80$  Гц,  $P = 10^3$  Вт,  $W_0 = 10^4 \div 5 \cdot 10^5$  Вт/см<sup>2</sup>). Для квазистационарного возбуждения с частотой прерывания 800 Гц использовались пятичастотный Ar-лазер типа ЛГМ-503 ( $\hbar\omega_0 = 2.71 \div 2.41$  эВ,  $P = 10^{-3} \div 1$  Вт) и трехчастотный Не—Не-лазер типа ЛГ-126 ( $\hbar\omega_0 = 1.91, 1.08, 0.37$  эВ;  $P = 10 \div 20$  мВт).

2. Фотолюминесценция PbTe : H и PbTe : N. На рис. 1 показаны характерные спектры ФЛ PbTe : H при  $T = 80$  К в квазистационарном режиме при малом уровне возбуждения и в импульсном режиме при большом уровне возбуждения. В первом случае спектр соответствует спонтанному излучению, во втором — вынужденному. Видно, что при пренебрежимо малом нагреве пленок изменение уровня возбуждения на 3 порядка и энергии кванта возбуждения в 3 раза не приводит к заметному изменению положения максимума  $\hbar\omega_m$  в спектрах излучения. На спектрах отмечены положение края  $\hbar\omega_k$  и ширина на половине интенсивности  $\Delta(\hbar\omega)_k$ . Значения  $\hbar\omega_m$  и  $\hbar\omega_k$  мало отличались от значений для нелегированных пленок, выращенных в вакууме  $8 \cdot 10^{-6}$  мм рт. ст. (см. таблицу). Положение максимумов в спектрах вынужденного излучения определялось с точностью  $\pm 0.5$  мэВ, и с уменьшением концентрации дырок можно было заметить сдвиг вверх по энергии на  $\approx 2.5$  мэВ ( $\hbar\omega_m = 233.2 \div 235.9$  мэВ, см. таблицу).

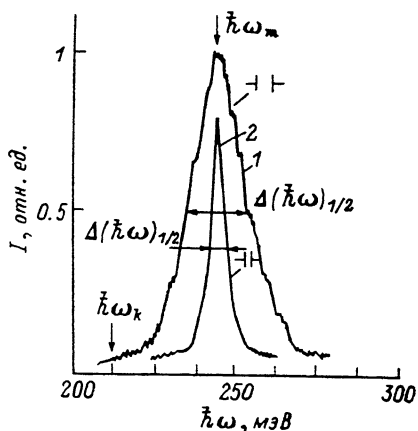
Значительно большие сдвиги спектральной линии наблюдались при легировании PbTe азотом; с увеличением  $P_{N_2}$  от  $10^{-5}$  до  $10^{-3}$  мм рт. ст.  $\hbar\omega_m$  изменялось от 254 до 274 мэВ (см. таблицу).

Интенсивность излучения пленок PbTe : H сильно зависела от  $P_{H_2}$ , люминесценция наблюдалась при 80 К на всех образцах при всех уровнях возбуждения и в лучших образцах была на 2 порядка выше интенсивности излучения нелегированных образцов. Пленки PbTe : N обнаруживали ФЛ лишь для образцов, выращенных при малых  $P_{N_2}$ . Интенсивность излучения в лучших образцах была приблизительно на порядок меньше интенсивности излучения образцов PbTe : H (см. таблицу, рис. 2); в большинстве образцов ФЛ PbTe : N удалось наблюдать только при мощном импульсном возбуждении.

При изменении  $T$  изменение положений  $\hbar\omega_m$  и  $\hbar\omega_k$  в интервале  $T=80 \div 200$  К

Рис. 1. Спектры излучения пленки PbTe : H при различных способах возбуждения.

1 — лазер ЛГ-126 ( $W_0=0.1$  Вт/см<sup>2</sup>,  $\hbar\omega_0=1.08$  эВ,  $f=800$  Гц),  
2 — лазер ЛГИ-21 ( $W_0=1 \cdot 10^5$  Вт/см<sup>2</sup>,  $\hbar\omega_0=3.68$  эВ,  $\tau=10$  нс,  $f=80$  Гц).



было линейным с коэффициентами  $\beta_1=0.45 \pm 0.03$  и  $\beta_2=0.54 \pm 0.03$  мэВ/К для пленок PbTe : H и PbTe : N на слюде,  $\beta_3=0.53 \pm 0.03$  мэВ/К для пленок PbTe : H на стекле в соответствии с разной ролью деформации пленок подложкой.

В этом интервале  $T$  интенсивность излучения и для PbTe : H, и для PbTe : N, выращенных на слюде и NaCl, монотонно падала с увеличением  $T$ . Необычная температурная зависимость была обнаружена для поликристалли-

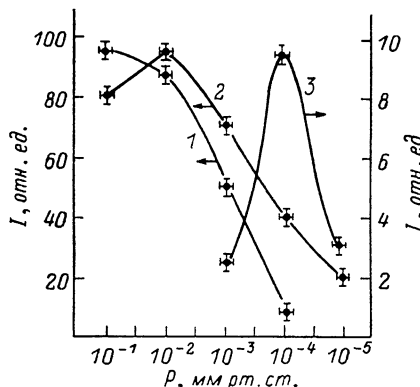


Рис. 2. Зависимости интенсивности излучения пленок PbTe, выращенных в атмосфере  $H_2$  (1 — на стекле, 2 — на слюде) и  $N_2$  (3 — на слюде), от давления газов в процессе роста пленок (импульсное возбуждение, лазер ЛГИ-21).

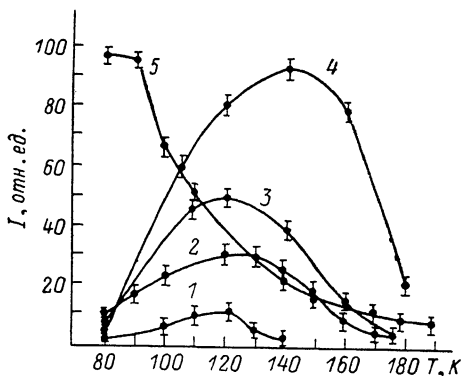


Рис. 3. Температурные зависимости интенсивности излучения пленок PbTe, выращенных в атмосфере  $H_2$  на стекле (1—4) и на слюде (5).

$P$ , мм рт. ст.: 1 —  $10^{-4}$ , 2 —  $10^{-1}$ , 3 —  $10^{-2}$ , 4 —  $10^{-3}$ , 5 —  $10^{-2}$  (импульсное возбуждение, лазер ЛГИ-21).

ческих пленок PbTe : H на стекле: наблюдался максимум квантового выхода излучения при  $T=120 \div 140$  К (рис. 3). Максимальная интенсивность излучения при высоких  $T$  наблюдалась для образца, выращенного при давлении  $P_{H_2}=10^{-3}$  мм рт. ст., т. е. оптимальные условия вхождения H в поликристаллические пленки отличаются от соответствующих условий для монокристаллических.

В спектрах ФЛ PbTe : N, кроме общего сдвига в коротковолновую область, были обнаружены новые особенности (рис. 4). На высокоэнергичном крыле линии проявлялась структура (максимумы  $\hbar\omega_2$ ,  $\hbar\omega_3$ ). Положение максимумов сдвигалось с температурой вместе с основным максимумом  $\hbar\omega_1$ . Максимум  $\hbar\omega_2$  проявлялся в сравнительно узком интервале температур  $T=80 \div 95$  К,  $\hbar\omega_2$  —

в более широком интервале  $T=80\div160$  К. Важно, что с увеличением  $T$  от 80 до 210 К общая ширина спектра уменьшалась примерно в 2 раза.

Ранее в спектрах ФЛ PbTe, легированного различными донорными примесями (см., например, [9]), наблюдалось уширение спектров при легировании, однако о структуре в спектрах PbTe при  $\hbar\omega > E_g$  в предыдущих публикациях никто не сообщал.

3. Обсуждение результатов. Результаты исследований спектров ФЛ свидетельствуют о вхождении водорода и азота в PbTe в значительных концентрациях. Контрольные опыты, проведенные методом масс-спектроскопии вторичных ионов по методике [5], показали наличие примесей водорода и отсутствие кислорода в PbTe : H. В то же время в образцах, выращенных в других газовых средах ( $N_2$ , Ar), была обнаружена примесь кислорода.

Вопрос о количественном содержании этих примесей в пленках остается пока открытым. Следует обсудить вопрос о механизме вхождения этих атомов и о возможном положении их в решетке PbTe.

Роль  $H_2$  в процессе роста пленок состоит, во-первых, в восстановли-

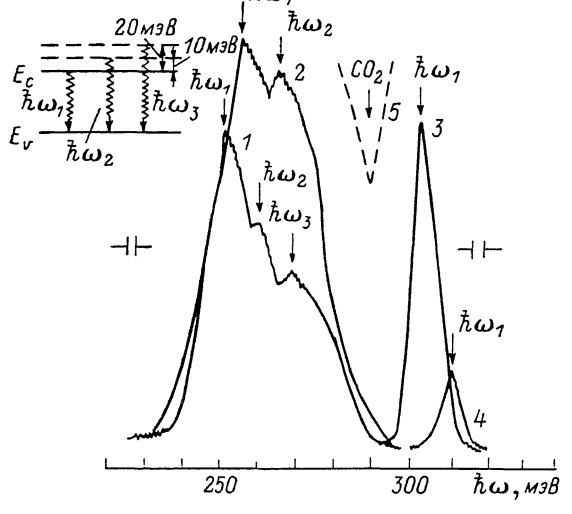


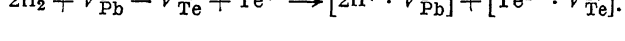
Рис. 4. Спектры излучения пленок PbTe на слюде, выращенной в атмосфере  $N_2$  при давлении  $10^{-4}$  мм рт. ст.

Спектры сняты при импульсном возбуждении при  $T$ , К: 1 — 80, 2 — 90, 3 — 200, 4 — 216; 5 — линия поглощения  $CO_2$  в атмосфере.

вающем действии; имеющаяся примесь кислорода входит в реакцию с водородом и удаляется в виде паров воды. Во-вторых, водород может входить в реакцию с избыточным Te в газовой фазе или на поверхности образца, а образующееся соединение — с избыточным Pb, согласно реакциям



которые приводят к улучшению стехиометрического состава пленок. В-третьих, водород может входить в комплексы с вакансиями свинца аналогично одновалентному Ag [11]:



Таким образом, можно объяснить действие  $H_2$  на ФЛ PbTe: уменьшение концентрации носителей при оптимальных концентрациях H, достигаемых при  $P_{H_2}=10^{-3}\div10^{-2}$  мм рт. ст., приводит к уменьшению роли оже-рекомбинации; уменьшение концентрации дефектов и улучшение совершенства кристаллической решетки также приводят к уменьшению вероятности безызлучательной рекомбинации.

Немонотонная зависимость квантового выхода от  $T$  наблюдалась ранее в узкоэнергетических твердых растворах  $Pb_{1-x}Sn_xTe$  с температурой в максимуме около  $T\approx40$  К [7]. В случае PbTe эта температура существенно выше ( $T=120\div140$  К). Падение интенсивности излучения в области низких температур можно приписать увеличению вероятности безызлучательной рекомбинации на границах раздела с понижением  $T$ . Таким образом, в поликристаллических пленках водород, по-видимому, улучшает совершенство объема отдельных кристалликов, а роль поверхностей раздела возрастает.

Пятивалентные атомы N могут входить в узлы подрешетки Pb и действовать как доноры в PbTe аналогично пятивалентным металлам Bi и Sb, об этом сви-

дeterminствуют изменения типа проводимости (нелегированные пленки всегда были *p*-типа, а легированные азотом — *n*-типа). Поскольку в нелегированных пленках концентрация вакансий  $V_{\text{Te}}^{2+}$  порядка  $10^{18} \text{ см}^{-3}$ , то такого же порядка может быть и концентрация азота в пленках. При такой интерпретации не ясно, как объяснить резкое уменьшение не только концентрации носителей, но и подвижности в пленках. По-видимому, в присутствии  $N_2$  концентрации вакансий  $V_{\text{Te}}^{2+}$  и  $V_{\text{Pb}}^{2+}$  стремятся к взаимной компенсации, оставаясь в достаточно больших концентрациях. В таких случаях следовало ожидать проявления неоднородностей в люминесценции пленок PbTe : N. Опыты по катодолюминесценции в растровом электронном микроскопе, проведенные по методике [13], показали наличие таких неоднородностей (ярко светящиеся области с характерными размерами порядка 100 мкм). Азот при этом может находиться не только в узлах, образуя комплексы с вакансиями.

Сдвиг спектров вверх по энергии следует связать тогда с возможным эффективным расширением кристалла, поскольку при растяжении должна увеличиваться ширина запрещенной зоны.

Возникновение структуры в спектрах при энергиях  $\hbar\omega > E_g$  тогда можно приписать излучательной рекомбинации с участием квазилокальных уровней в зоне проводимости, как это показано на вставке к рис. 4. Известно, что ваканси  $V_{\text{Te}}^{2+}$  образуют квазилокальные уровни в PbTe, но достаточно высоко в зоне проводимости  $\sim 0.2$  эВ [4]. Наблюдаемые положения максимумов  $\hbar\omega_2$  и  $\hbar\omega_3$  приводят к сравнительно малым энергиям квазилокальных уровней, предлагаемых в этой модели, которые следует приписать комплексам вакансий с азотом. Такая гипотеза находит подтверждение в спектрах оптического поглощения пленок PbTe : N, в которых мы наблюдали переходы с энергиями, существенно большими  $E_g$ . Люминесцентные свойства PbTe : N не обусловлены обнаруженной неконтролируемой примесью кислорода, так как контрольные опыты в образцах PbTe, легированных кислородом, не выявили описанных особенностей в спектрах.

**Выходы.** Показано, что примеси водорода и азота входят в пленки при выращивании методом термического испарения в атмосфере этих газов; они при этом существенно изменяют спектры и квантовый выход фотolumинесценции PbTe.

Увеличение квантового выхода излучения пленок PbTe при введении водорода обусловлено улучшением структурного совершенства эпитаксиальных пленок, уменьшением концентрации дефектов, которые происходят как вследствие взаимодействия водорода с примесью кислорода и избыточными атомами Pb и Te, так и вследствие взаимодействия водорода с вакансиями.

Примесь азота действует как донор в PbTe, приводя одновременно к сильной компенсации пленок. Обнаружена структура в спектрах люминесценции, которая может быть обусловлена излучательной рекомбинацией с участием квазилокальных уровней вблизи дна зоны проводимости.

Авторы выражают благодарность В. С. Чернышу, К. Ф. Миннебаеву за проведение опытов по определению газовых примесей в пленках и В. И. Петрову, А. Гареевой за опыты по катодолюминесценции в растровом электронном микроскопе.

#### Л и т е р а т у р а

- [1] Абдурагимов Г. А., Качабеков М. М., Курбанов К. Р. — Изв. АН СССР, Неорг. матер., 1981, т. 17, в. 8, с. 1378—1381.
- [2] Абдурагимов Г. А., Качабеков М. М. — Изв. вузов СССР, Физика, 1984, № 2, с. 107—109.
- [3] Абдурагимов Г. А., Качабеков М. М. — В кн.: Физика—химия полупроводникового материаловедения. 1978, с. 148—152.
- [4] Кайданов В. П., Равич Ю. И. — УФН, 1985, т. 145, в. 1, с. 51—86.
- [5] Черепин В. Г. Ионный зонд. Киев, 1981. 328 с.
- [6] Вейс А. Н., Кайданов В. П., Равич Ю. И., Костылева Н. А., Мельник Р. Б., Уханов Ю. И. — ФТП, 1973, т. 7, в. 5, с. 928—930.
- [7] Tomm J. W., Hermann Kar., Yunovich A. E., Solotov S. I. — Phys. St. Sol. (b), 1985, v. 88, N 1, p. 277—281.
- [8] Кайданов В. П., Мельник Р. Б., Шапиро Л. А. — ФТП, 1972, т. 6, в. 11, с. 2140—2143.
- [9] Yalyschko A. B., Herrmann K. H., Schafer P., Lebedev A. I., Aitikeeva T. D., Yunovich A. E. — Phys. St. Sol. (a), 1981, v. 67, N 1, p. 171—175.

- [10] Золотов С. И., Ковалев А. Н., Парамонов В. И., Юнович А. Э. — ФТП, 1985, т. 19, в. 4, с. 616—620.
- [11] Горина Ю. И., Зайнудинов С., Золотов С. И., Калюжная Т. А., Пашунин Ю. М., Старшинова Т. П., Юнович А. Э. — Изв. АН СССР, Неорг. матер., 1986, т. 22, в. 7, с. 1105—1108.
- [12] Золотов С. И., Юнович А. Э. — ПТЭ, 1985, т. 9, в. 5, с. 185—187.
- [13] Петров В. Н., Прохоров В. А., Юнович А. Э. — ФТП, 1984, т. 18, в. 3, с. 484—488.

Московский  
государственный университет  
им. М. В. Ломоносова

Получена 16.09.1987  
Принята к печати 8.10.1987

---